



УДК 536.24:544.77

© 2007

Член-корреспондент НАН України **Б. И. Басок, Б. В. Давыденко, А. И. Тесля**

Математическая модель и метод расчета температурного состояния капсулы, движущейся в формующей среде

On the basis of an approximate mathematical model, the calculation of time variations of the temperature field of a composite droplet (external layer and contents) is executed. A droplet moves in a molding liquid and, as a result of the external layer jellification, transforms into a capsule. The time period before the jellification process beginning is considered.

Капсулированные продукты широко применяются в пищевой промышленности и медицине. Одним из способов получения капсул является монодисперсное дробление бинарной коаксиальной струи, внутренняя составляющая которой представлена капсулируемой жидкостью, а наружная — жидкостью вещества оболочки капсулы. Составные капли, полученные в результате дробления бинарной струи, направляются в формующую жидкость, в среде которой жидкая оболочка затвердевает. Обычно это происходит вследствие изменения ее температуры. Если, например, вещество оболочки представляет собой раствор агароида, желатина или подобных ему веществ, то в результате охлаждения ниже $40\text{ }^{\circ}\text{C}$ такой раствор из жидкого превращается в желеобразный. Оболочка при этом имеет форму сферического слоя.

Для выбора оптимального температурного режима капсулирования, а также с целью последующего создания эффективных капсулирующих устройств, рассмотрим метод расчета температурного поля составной сферической капли, имеющей в начальный момент времени жидкую оболочку и жидкую сердцевину, свободно движущейся под действием силы тяжести в вязкой формующей среде. Жидкости, составляющие оболочку и сердцевину, а также формующая жидкость — несмешивающиеся. Считается, что сердцевина имеет форму сферы, а оболочка — сферического слоя. Оболочка и сердцевина принимаются концентрическими. Теплофизические свойства всех компонентов системы предполагаются постоянными вплоть до момента начала желирования оболочки. В начальный момент времени температуры сердцевины, оболочки и формующей жидкости составляют соответственно t_c , t_o и t_Φ ($t_o > t_\Phi$). В формующей среде оболочка капли остывает. С момента достижения наружной поверхностью оболочки температуры $t_{ж}$ начинается процесс желирования оболочки.

Жидкие среды, составляющие рассматриваемую систему, имеют весьма высокую вязкость, а их плотности — близкие по значениям. В связи с этим, можно предположить, что скорость движения капли под действием силы тяжести в формирующей среде будет сравнительно низкой. Кроме того, при таких условиях за достаточно короткий промежуток времени капля приобретает постоянную скорость движения (равновесную скорость или скорость витания) и все гидродинамические процессы становятся стационарными [1]. Это позволяет описать задачу движения капсулы системой уравнений Стокса. В сферических координатах с началом в центре массы капли эта система, записанная в безразмерной форме, имеет вид:

$$\frac{\partial V}{\partial R} + \frac{2V}{R} + \frac{1}{R} \frac{\partial U}{\partial \theta} + \frac{U \operatorname{ctg}(\theta)}{R} = 0; \quad (1)$$

$$\begin{aligned} \sigma_\beta \frac{\partial P}{\partial R} = & -G \frac{\sigma_\beta}{\zeta_\beta} (1 - \zeta_\beta) \cos(\theta) + \frac{\partial^2 V}{\partial R^2} + \frac{1}{R^2} \frac{\partial^2 V}{\partial \theta^2} + \frac{2}{R} \frac{\partial V}{\partial R} + \frac{\operatorname{ctg}(\theta)}{R^2} \frac{\partial V}{\partial \theta} - \frac{2V}{R^2} - \\ & - \frac{2}{R^2} \frac{\partial U}{\partial \theta} - \frac{2 \operatorname{ctg}(\theta)}{R^2} U; \end{aligned} \quad (2)$$

$$\frac{\sigma_\beta}{R} \frac{\partial P}{\partial \theta} = G \frac{\sigma_\beta}{\zeta_\beta} (1 - \zeta_\beta) \sin(\theta) + \frac{\partial^2 U}{\partial R^2} + \frac{1}{R^2} \frac{\partial^2 U}{\partial \theta^2} + \frac{2}{R} \frac{\partial U}{\partial R} + \frac{\operatorname{ctg}(\theta)}{R^2} \frac{\partial U}{\partial \theta} + \frac{2}{R^2} \frac{\partial V}{\partial \theta} - \frac{U}{R^2 \sin^2(\theta)}, \quad (3)$$

где

$$U = \frac{u}{w}; \quad V = \frac{v}{w}; \quad R = \frac{r}{r_k}; \quad \zeta_\beta = \frac{\rho_0}{\rho_\beta}; \quad \sigma_\beta = \frac{\mu_0}{\mu_\beta};$$

$$P = \frac{p^* r_k}{\mu_0 w}; \quad G = \frac{g r_k^2 \rho_0}{\mu_0 w}; \quad p^* = p + \rho_0 g z - p_{\text{ат}},$$

r, θ — сферические координаты (радиальная и угловая); z — вертикальная координата; v, u — радиальная и касательная составляющие скорости в подвижной системе координат; w — равновесная скорость вертикального движения центра массы капли; p — давление; $p_{\text{ат}}$ — атмосферное давление; g — ускорение силы тяжести; r_k — внешний радиус оболочки капсулы; μ — динамический коэффициент вязкости; ρ — плотность; β — индекс, характеризующий отношение физической величины к той или иной жидкой среде: $\beta = 0$ — формирующая жидкость, в среде которой движется капля; $\beta = 1$ — жидкость оболочки; $\beta = 2$ — жидкость содержимого капсулы оболочки.

Граничными условиями для уравнений (1)–(3) будут:

$$\theta = 0; \pi : \quad U_\beta = 0; \quad \frac{\partial V_\beta}{\partial \theta} = 0; \quad \beta = 0; 1; 2; \quad (4)$$

$$R \rightarrow \infty : \quad V \rightarrow -\cos(\theta); \quad U \rightarrow \sin(\theta); \quad P \rightarrow 0; \quad (5)$$

$$R = 1 : \quad V_1 = V_0 = 0; \quad U_1 = U_0; \quad \frac{\partial}{\partial R} \left(\frac{U_1}{R} \right)_{R=1} = \sigma_1 \frac{\partial}{\partial R} \left(\frac{U_0}{R} \right)_{R=1}; \quad (6)$$

$$R = R_o : \quad V_1 = V_2 = 0; \quad U_1 = U_2; \quad \frac{\partial}{\partial R} \left(\frac{U_1}{R} \right)_{R=R_o} = \frac{\sigma_1}{\sigma_2} \frac{\partial}{\partial R} \left(\frac{U_2}{R} \right)_{R=R_o}; \quad (7)$$

$$R = 0 : \quad U_2; V_2; P_2 \text{ — величины конечные,}$$

где $R_o = r_o/r_k$, r_o — внутренний радиус оболочки капсулы.

Система уравнений (1)–(3) описывает движение капли в вязкой среде с малой скоростью. Один из методов ее решения рассмотрен в [2]. Условие (4) означает, что рассматриваемая задача симметрична относительно вертикальной оси. Эти условия позволяют для любого β представить решение системы уравнений (1)–(3) в виде

$$V = f(R) \cos(\theta), \quad U = -q(R) \sin(\theta), \quad P = \frac{h(R)}{\sigma_\beta} \cos(\theta).$$

Подстановка этих выражений в уравнения (1)–(3) приводит к системе обыкновенных дифференциальных уравнений вида

$$\begin{aligned} f' + \frac{2}{R}(f - q) &= 0, \\ h' &= -G \left(\frac{1}{\zeta_\beta} - 1 \right) \sigma_\beta + f'' + \frac{2}{R}f' + \frac{4}{R^2}(q - f), \\ \frac{h}{R} &= -G \left(\frac{1}{\zeta_\beta} - 1 \right) \sigma_\beta + q'' + \frac{2}{R}q' + \frac{2}{R^2}(f - q). \end{aligned}$$

Решение полученной системы методом исключения приводит к дифференциальному уравнению четвертого порядка для определения f

$$R^3 f'''' + 8R^2 f''' + 8Rf'' - 8f' = 0.$$

Решение данного уравнения в каждой из рассматриваемых сред имеет следующий вид: для среды формирующей жидкости

$$f_0 = b_0 + b_1 R^{-1} + b_3 R^{-3};$$

для среды жидкости оболочки

$$f_1 = c_0 + c_2 R^2 + d_1 R^{-1} + d_3 R^{-3};$$

для среды капсулируемой жидкости

$$f_2 = a_0 + a_2 R^2,$$

где a, b, c, d — коэффициенты, определяемые из граничных условий (5)–(7).

Определив f_β , можно из оставшихся дифференциальных уравнений найти функции q_β и h_β , а затем — поля скоростей и давлений в каждой из сред. Для нахождения равновесной скорости движения капсулы необходимо рассчитать результирующую силу сопротивления F , действующую на капсулу со стороны формирующей жидкости. Для этого используется формула

$$F = 2\pi r_k^2 \int_0^\pi \left[\left(-p^* + 2\mu_0 \frac{\partial v}{\partial r} \right) \cos(\theta) - \mu_0 \frac{\partial}{\partial r} \left(\frac{u}{r} \right) \sin(\theta) \right]_{r=r_k} \sin(\theta) d\theta.$$

Подставляя в нее функции u, v, p^* , найденные для внешнего течения, получим

$$F = -4\pi r_k b_1 w \mu_0 + \frac{4}{3} \pi g r_k^3 \rho_0.$$

Приравнивая значение F весу капсулы, получим уравнение для определения равновесной скорости w , из которого следует, что

$$w = \frac{r_k^3(\rho_1 - \rho_0) + r_o^3(\rho_2 - \rho_1)}{3r_k b_1 \mu_0}.$$

Теплоперенос в системе формирующая жидкость — оболочка капсулы — содержимое капсулы описывается уравнением энергии, в котором, в отличие от уравнений динамики (2), (3), нестационарный и конвективный члены сохранены вследствие высоких значений чисел Прандтля, характерных для рассматриваемых жидкостей. В сферических координатах уравнение энергии имеет вид

$$\text{Pr} \left(\frac{\partial T}{\partial \text{Fo}} + \text{Re} V \frac{\partial T}{\partial R} + \text{Re} \frac{U}{R} \frac{\partial T}{\partial \theta} \right) = \frac{1}{\eta_\beta} \left(\frac{\partial^2 T}{\partial R^2} + \frac{2}{R} \frac{\partial T}{\partial R} + \frac{1}{R^2} \frac{\partial^2 T}{\partial \theta^2} + \frac{\text{ctg}(\theta)}{R^2} \frac{\partial T}{\partial \theta} \right), \quad (8)$$

где $T = \frac{t - t_\Phi}{t_o - t_\Phi}$; $\eta_\beta = \frac{a_0}{a_\beta}$; $\text{Fo} = \frac{\tau \mu_0}{\rho_0 r_k^2}$; $\text{Re} = \frac{w r_k \rho_0}{\mu_0}$; $\text{Pr} = \frac{\mu_0}{\rho_0 a_0}$; t — температура; a — коэффициент температуропроводности; τ — время.

Уравнение (8) решается при следующих граничных условиях:

$$R = 0 : \quad T_2 \text{ — величина конечная}$$

$$\theta = 0; \pi : \quad \frac{\partial T_\beta}{\partial \theta} = 0; \quad \beta = 0; 1; 2;$$

$$R \rightarrow \infty : \quad T \rightarrow 0;$$

$$R = 1 : \quad T_1 = T_0; \quad \left. \frac{\partial T_1}{\partial R} \right|_{R=1} = \kappa_1 \left. \frac{\partial T_0}{\partial R} \right|_{R=1}; \quad (9)$$

$$R = R_o : \quad T_1 = T_2; \quad \left. \frac{\partial T_1}{\partial R} \right|_{R=R_o} = \frac{\kappa_1}{\kappa_2} \left. \frac{\partial T_2}{\partial R} \right|_{R=R_o}, \quad (10)$$

где $\kappa_\beta = \lambda_0/\lambda_\beta$, λ — коэффициент теплопроводности.

Начальными условиями для уравнения (8) будут: при $\text{Fo} = 0$: $T_0 = 0$; $T_1 = 1$; $T_2 = (t_c - t_\Phi)/(t_o - t_\Phi)$.

Для решения уравнения (8) воспользуемся методом, предложенным в [3]. Для областей оболочки капсулы ($R_o < R < 1$) и ее содержимого ($0 < R < R_o$, $R_o = r_o/r_k$) перейдем от переменной T к переменной $H = TR$. Это позволит задать при $R = 0$ условие $H = 0$. Уравнение (8) в переменных H , R , θ будет иметь вид

$$R^2 \frac{\partial H}{\partial \text{Fo}} + \text{Re} V_\beta R \left(R \frac{\partial H}{\partial R} - H \right) + \text{Re} U_\beta R \frac{\partial H}{\partial \theta} = \frac{1}{\eta_\beta \text{Pr}} \left(R^2 \frac{\partial^2 H}{\partial R^2} + \frac{\partial^2 H}{\partial \theta^2} + \text{ctg}(\theta) \frac{\partial H}{\partial \theta} \right), \quad (11)$$

где V_β и U_β — скорости, которые рассчитываются по формулам, выведенным для области содержимого капсулы ($\beta = 2$) и оболочки капсулы ($\beta = 1$).

Во внешней области ($1 < R < \infty$) удобно от радиальной переменной R перейти к $S = 1/R$. Это дает возможность рассматривать задачу внешнего теплопереноса в ограниченной области ($0 < S < 1$). Уравнение (8) в переменных T , S , θ примет вид:

$$\frac{1}{S^2} \frac{\partial T}{\partial \text{Fo}} - \text{Re} V \frac{\partial T}{\partial S} + \text{Re} \frac{U}{S} \frac{\partial T}{\partial \theta} = \frac{1}{\text{Pr}} \left(S^2 \frac{\partial^2 T}{\partial S^2} + \frac{\partial^2 T}{\partial \theta^2} + \text{ctg}(\theta) \frac{\partial T}{\partial \theta} \right). \quad (12)$$

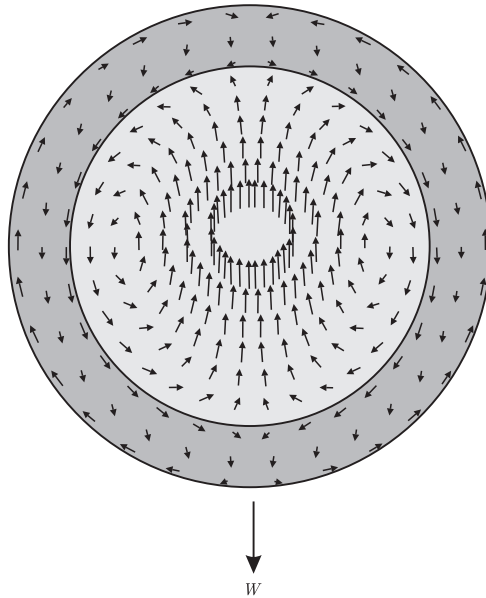


Рис. 1. Картина течения жидкостей в оболочке капсулы и ее содержимом

Для скоростей V и U , входящих в уравнение (12), используются зависимости, полученные для области внешнего течения ($\beta = 0$). В новых переменных записываются и условия (9), (10) на границах раздела сред.

Для решения уравнений (11) и (12) применяется метод конечных разностей. В узлах, лежащих на границах раздела сред, разностные уравнения переноса заменяются условиями сопряжения (9), (10), записанными также в разностной форме.

В качестве примера расчета температурного поля капсулы в процессе ее движения и охлаждения в формирующей среде рассматривается случай, соответствующий технологии производства имитированной красной зернистой икры [4]. В соответствии с данной технологией, в качестве формирующей жидкости используется растительное масло, охлажденное до температуры $t_{\text{ф}} = 10$ °С. Диаметры оболочки: внешний — $2r_k = 6$ мм, внутренний — $2r_o = 4,8$ мм.

Вещество оболочки — раствор агароида с начальной температурой $t_o = 65$ °С. Содержимое капсулы — раствор капсулируемых веществ (вкусовых добавок и пищевого красителя) в растительном масле, который имеет начальную температуру $t_c = 25$ °С. Расчеты выполнены для следующих значений теплофизических свойств компонентов системы:

$$C_0 = 2150 \text{ Дж}/(\text{кг} \cdot \text{К}); \quad \rho_0 = 923 \text{ кг}/\text{м}^3; \quad \mu_0 = 0,1 \text{ Н} \cdot \text{с}/\text{м}^2; \quad \lambda_0 = 0,135 \text{ Вт}/(\text{м} \cdot \text{К});$$

$$C_1 = 3232 \text{ Дж}/(\text{кг} \cdot \text{К}); \quad \rho_1 = 1083 \text{ кг}/\text{м}^3; \quad \mu_1 = 0,2 \text{ Н} \cdot \text{с}/\text{м}^2; \quad \lambda_1 = 0,432 \text{ Вт}/(\text{м} \cdot \text{К});$$

$$C_2 = 2150 \text{ Дж}/(\text{кг} \cdot \text{К}); \quad \rho_2 = 915 \text{ кг}/\text{м}^3; \quad \mu_2 = 0,09 \text{ Н} \cdot \text{с}/\text{м}^2; \quad \lambda_2 = 0,132 \text{ Вт}/(\text{м} \cdot \text{К}).$$

Поля скоростей течения жидкостей, составляющих бинарную каплю, представлены на рис. 1. Как видно из рисунка, движение обоих компонентов капсулы имеет циркуляционный характер, более сложный, чем в случае однородной капли [1]. Образованию и поддержанию вихревых течений жидкостей оболочки и ее содержимого способствуют касательные напряжения на поверхностях раздела сред.

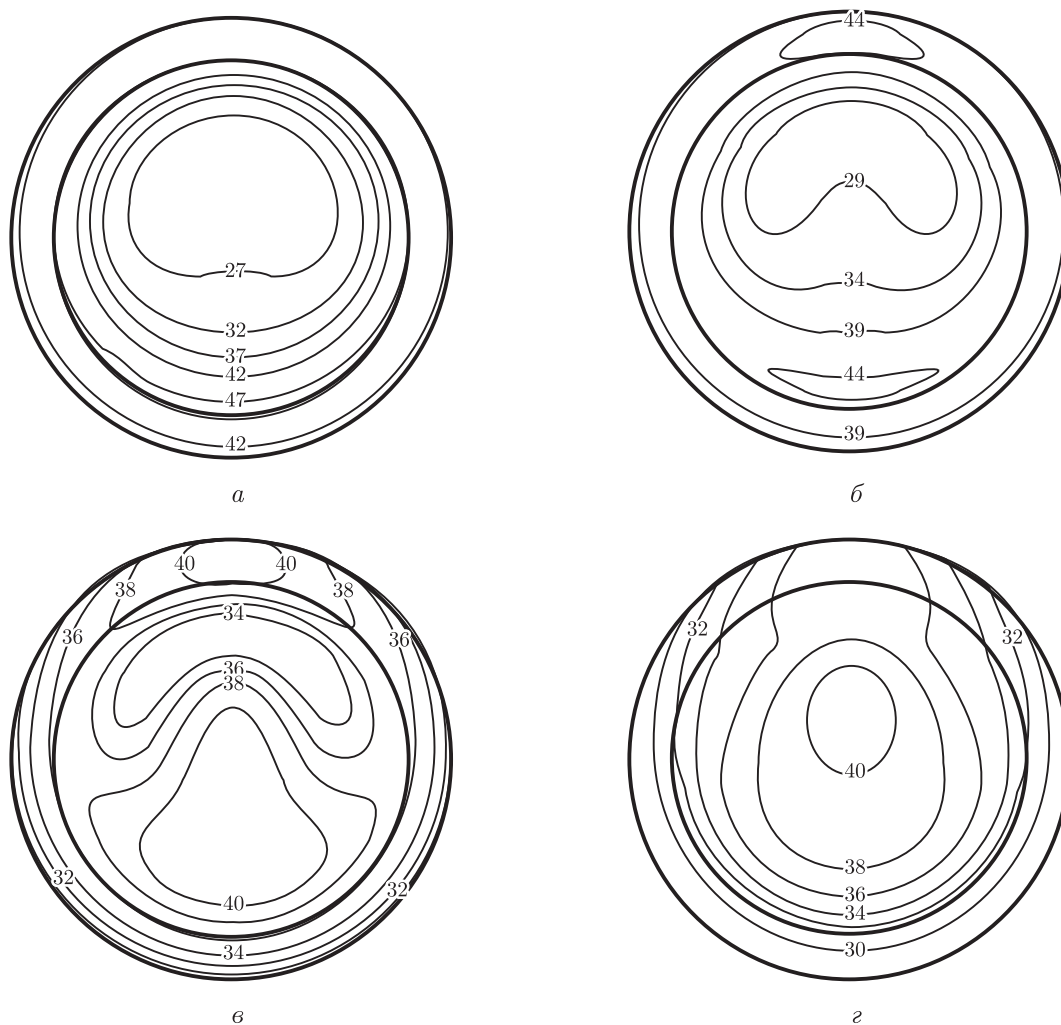


Рис. 2. Изменение во времени полей температуры ($^{\circ}\text{C}$) в оболочке капсулы и ее содержимом: *a* — $\tau = 1,6$ с; *б* — $\tau = 2,4$ с; *в* — $\tau = 4,5$ с; *г* — $\tau = 6,2$ с

Результаты расчета температурного поля капсулы приведены на рис. 2. Характер теплопереноса в системе формирующая жидкость — оболочка — содержимое определяется особенностями течений компонентов капсулы. Главную роль в этом процессе играет внутренняя конвекция. Наиболее интенсивно теплоотдача протекает в области передней лобовой части оболочки, где внешний температурный пограничный слой формирующей жидкости наиболее тонкий. Охлажденная с внешней стороны жидкость оболочки переносится вихревым течением во внутреннюю область, что способствует понижению ее температуры. Вместе с тем, теплота переносится и к более холодному веществу содержимого капсулы.

Течение содержимого капсулы (сердцевины) также имеет вихревую структуру, вследствие чего нагретая у поверхности жидкость сердцевины переносится в ее центральную часть. При этом температура центральной части сердцевины растет более интенсивно, чем температура участков, расположенных ближе к центрам вихревого течения.

Сложный механизм теплопереноса в бинарной капле сказывается на характере изотерм, которые приведены на рис. 2. Как видно из рисунков, функция распределения температуры

в радиальном направлении имеет как локальные минимумы, так и максимумы, расположение которых зависит от времени. Вследствие внутренних циркуляционных течений уровень теплоотдачи от оболочки капсулы к формирующей жидкости оказывается более высоким по сравнению с уровнем теплоотдачи от твердой сферы при тех же значениях чисел Рейнольдса.

Температура оболочки достигает значения $t = 30$ °С приблизительно за 6,2 с. При этой температуре начинается процесс желирования вещества оболочки. После завершения процесса желирования движение жидкости внутри капсулы прекращается, и ее дальнейшее охлаждение протекает подобно охлаждению твердой сферы, движущейся в жидкости. В этот период изотермы становятся концентрическими. Процесс теплообмена при этом становится менее интенсивным и дальнейший темп охлаждения снижается.

Результаты данных исследований, а также метод расчета температурного состояния капсулы в процессе ее охлаждения можно использовать при разработке технологии производства жидких капсулированных продуктов.

1. Кравченко Ю. С., Давыденко Б. В., Тесля А. И. Движение сферической капли в вязкой среде под действием силы тяжести // Пром. теплотехника. – 2003. – **25**, № 4. – С. 20–25.
2. Кочин Н. Е., Кибель И. А., Розе Н. В. Теоретическая гидромеханика. Т. 2. – Москва: ФИЗМАТГИЗ, 1963. – 727 с.
3. Oliver D. L. R., Chung J. N. Unsteady conjugate heat transfer from a translating fluid sphere at a moderate Reynolds numbers // Int. J. Heat Mass Transfer. – 1990. – **33**, No 3. – P. 401–404.
4. Перцевой Ф. В., Савгира Ю. А., Камсулина Н. В. и др. Технология получения растительных масел и пищевых продуктов, обогащенных каротиноидами. – Харьков, 2002. – 230 с.

*Институт технической теплофизики
НАН Украины, Киев*

Поступило в редакцию 14.03.2007